

# II-160 シル型減勢工の水理特性

日大理工 正 大津岩夫  
日大理工 正 栗津清蔵  
日大大学院 学 岡田仁

重力式ダム等の余水吐を流下する高速放流水のエネルギー減勢方法として 下流水位流量曲線が跳水曲線よりも低い場合には シルや副ダムを用いた跳水式減勢工が多く用いられている。(かしながら、シル型減勢工の設計指針についてはさらに検討の余地がある。この報告は鉛直シルによる強制跳水を支配する水理量間の関係、特にシルに作用する抗力、強制跳水によるエネルギー損失、強制跳水の長さについて実験的検討を加え、シル型減勢工の設計指針を確立しようとするものである。

シルによる強制跳水を支配する水理量間の関係 鉛直シル(連続バッフル)による強制跳水を支配する水理量間の関係は式(1)によって示されるものと推定される(図-1)。

$$f_1(h_i, h_1, S, x', R_s, L_t, g) = 0 \quad (1)$$

次元解析によって式(2)が推論される。

$$f_2(S/R_s, h/R_s, x'/L_t, F_r, (h/R_s)^{1/2}) = 0 \quad (2)$$

さらに独立な無次元量の組合せについて検討すると式(3)が推論される。

$$f_3(S/R_s, h/R_s, x'/L_t, F_r) = 0 \quad (3)$$

式(3)に従って実験値を整理すると、例えば図-2が得られる。

与えられた  $F_r$ ,  $h_1$ ,  $S$  のもとで  $h_5$  ( $h_5 < h_2$ ) を低下させると、 $x'$  は減少していく。  $S$  があるシル高  $S_c$  よりも小さい場合は、ついには飛散(Spray)する流況となるが、 $S \geq S_c$  の場合は、ある  $R_s$  (このときの  $h_5$  を  $h_{s*}$  とする) よりも水深を低下させても  $x'$  は変化しなくなり、シル前方に一定の流況の強制跳水が形成される。すなわち、下流水深がない場合、シル前方に一定の流況(ある  $x'/L_t$  の値)の強制跳水を得るための必要シル高  $S*$  は式(4)で示される。

$$f_4(S/R_s, x'/L_t, F_r) = 0 \quad h_5 \leq h_{s*} \quad (4)$$

さらに  $(x'/L_t)_{min}$  のとき  $(S*)_{min} = S_c$  であるので 式(5)が得られる。

すなわち、下流水深がない場合、最小必要シル高は  $S_c$  であり、 $S < S_c$  では Spray 状態となる。

$$f_5(S_c/R_s, F_r) = 0 \quad (5)$$

式(5)を実験値によって検討すると図-3が得られる。また、Rand の実験値を、

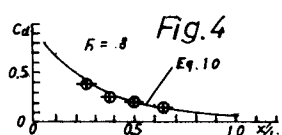
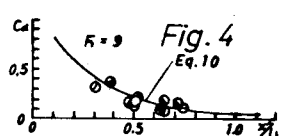
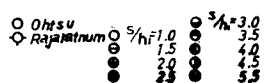
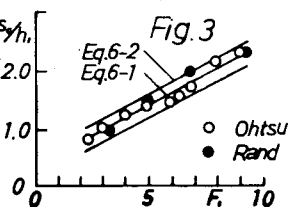
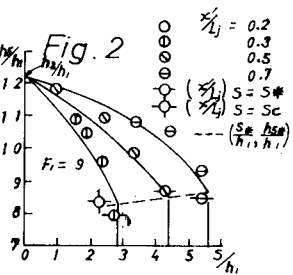
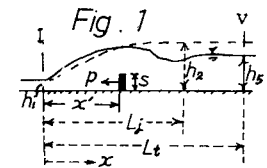
式(5)に従い整理するところほぼ同一な相間が得られる(図-3)。なお、図-3より実験式を求める式(6)が得られる。

$$S_c/R_s = 0.21 F_r + 0.35 \quad (6-1)$$

$$S_c/R_s = 0.21 F_r + 0.55 \quad (6-2)$$

$$2.32 \leq F_r \leq 9.00 \quad (6-2) \text{ は安全側}$$

シルに作用する抗力  $R_s > R_{s*}$  のとき、 $x' < L_t$  にシルを設置すると、抗力  $P$  が作用するため  $R_s$  は  $R_s < R_{s*} < R_s < R_2$  となる。次元解析によると式(7)が得られる(B: 水路幅)。



$$Cd = f_7(F_1, \frac{h_5}{h_1}, \frac{h_5}{h_1}, \frac{x}{L}) \quad \text{:=: } Cd = \frac{P}{2} \rho v^2 BS \quad (7)$$

I断面とV断面( V断面は流線の曲率の影響が小さく静水圧分布しているとみなされ、一般的な開水路流と同一の流速分布となるシル下流の最初の断面である)間の流体をコントロールボリウムに選ぶ(I, V断面で静水圧分布,  $\alpha = 1$ と仮定) X方向に運動量方程式を適用すると式(8)が得られる。Cdは圧力計等により直接測定せず、式(8)によって間接的に求めた。

$$Cd = (\frac{h_5}{h_1} - 1)[2F_1^2 - (\frac{h_5}{h_1} + 1)\frac{x}{L}] / F_1^2 \cdot (\frac{h_5}{h_1})(\frac{h_5}{h_1}) \quad (8)$$

式(7), (8)より式(9)が得られる。

$$Cd = f_9(F_1, \frac{h_5}{h_1}, \frac{x}{L}) \quad (9)$$

式(9)に従って実験値(射流境界層が発達している場合)を整理すると図-4が得られる。さらに図-4には Rajaratnum and Murahari の直接測定( water manometer による)の実験結果を含めてプロットしており、ほぼ同一の Cd が得られている。なお実験式を求めると式(10)が得られる。

$$Cd = (0.128F_1 - 0.090) e^{-(6.19 \log_{10} F_1 - 2.53) \frac{x}{L}} \quad \left. \begin{array}{l} \\ 3 \leq F_1 \leq 9 \\ 0.2 \leq \frac{x}{L} < 1.0 \end{array} \right\} \quad (10)$$

これより、 $0.5 \leq \frac{x}{L} < 1$  の場合は  $F_1$  が小のときの方が  $\frac{x}{L} < 0.5$  の場合は  $F_1$  が大的ときの方が Cd は大となり シルの効果は大きい。

強制跳水によるエネルギー損失  $H_L$  I-V 断面に  $\alpha = 1$  と仮定しベルヌーイの定理を適用すると式(11)が得られる ( $H = \frac{v^2}{2g} + h$ )。

$$\frac{H_L}{H_1} = (H_1 - H_5)/H_1 = 1 - \{2(\frac{h_5}{h_1}) + F_1^2(\frac{h_5}{h_1})\} / (2 + F_1^2) \quad (11)$$

$h_5 = h_2$  (自由跳水) のとき、および  $h_5 = h_c$  のとき(式(12))を含めて、図-5(実線  $h_5 > h_c$ , 点線  $h_5 < h_c$ )に示してあり 式(12)は式(11)の包絡線となっている。与えられた  $F_1$  に対して、 $\frac{h_5}{h_1}$  の範囲は限定され、自由跳水よりも大きい  $\frac{H_L}{H_1}$  が得られる。

$$\frac{H_L}{H_1} = 1 - 3F_1^2 / (2 + F_1^2) \quad (12)$$

強制跳水の長さ  $h_5 > h_{5*}$  のとき I 断面から V 断面までの長さ  $L_t$  を強制跳水の長さとする。  $L_t$  を強制跳水によるエネルギー損失の達成される長さと解釈する。すなわち、ある大きさの  $H_L$  を得るために、energy dissipation するためのある大きさの溝 (separation zone) が必要であり、その水路方向の長さを  $L_t$  である(図-6)。 $L_t$  をこのように解釈すると式(13)が推論され、無次元化すると式(14)が得られる。式(14)に基づき資料を整理すると 図-7 のように良い相関が得られ、実験式、式(15)が得られた。

$$L_t = f(H_1, H_L) \quad (13)$$

$$\frac{L_t}{H_L} = f(\frac{H_L}{H_1}) \quad (14)$$

$$\log_{10}(\frac{L_t}{H_L}) = -1.71 \frac{H_L}{H_1} + 1.66 \quad (15)$$

(参考文献)

- (1) 水理公式集 (2) Walter Rand Flow Over a Vertical Sill in an Open Channel 1965 July ASCE Hy. (3) Rajaratnum and Murahari A Contribution to Forced Hydraulic Jumps Journal of Hy. Res. 1971. No. 2 (謝辞) 本研究を行なうにあたり、柳七郎君の協力を得た。記して謝意を表します。

